

# **Analiza porównawcza algorytmów optymalizacyjnych: Programowanie Dynamiczne vs Zachłanne**

Sprawozdanie z laboratorium

13 stycznia 2026

## **Streszczenie**

Niniejsze sprawozdanie przedstawia analizę wydajności i poprawności implementacji wybranych algorytmów: cięcia pręta (Cut Rod), najdłuższego wspólnego podciągu (LCS), problemu wyboru zajęć (Activity Selection) oraz kodowania Huffmana (wariant binarny i ternarny). Badania przeprowadzono dla danych losowych o rozmiarach  $N$  dochodzących do 30 000 elementów. Kluczowym elementem analizy jest porównanie podejścia dynamicznego z zachłannym, weryfikacja narzutu czasowego rekurencji oraz analiza strukturalna drzew Huffmana.

## **Spis treści**

<b>1 Wstęp i cel ćwiczenia</b>	<b>2</b>
<b>2 Analiza Implementacji</b>	<b>2</b>
2.1 Activity Selector - Modyfikacja (Start Time) . . . . .	2
2.2 Cut Rod - Iteracja z rekonstrukcją . . . . .	3
2.3 Kodowanie Huffmana: Binarne vs Ternarne . . . . .	3
2.3.1 Różnice w redukcji kolejki i padding . . . . .	3
<b>3 Wyniki eksperymentów</b>	<b>4</b>
3.1 Cut Rod: Koszt rekurencji . . . . .	4
3.2 Activity Selector: Przepaść wydajnościowa . . . . .	5
3.3 Porównanie wariantów zachłannych . . . . .	6
3.4 Analiza strukturalna drzew Huffmana . . . . .	6
<b>4 Wnioski końcowe</b>	<b>7</b>

# 1 Wstęp i cel ćwiczenia

Celem laboratorium było zaimplementowanie i przetestowanie klasycznych problemów algorytmicznych. Szczególny nacisk położono na:

1. Porównanie złożoności teoretycznej z rzeczywistym czasem wykonania.
2. Analizę "kosztu" memoizacji w podejściu rekurencyjnym.
3. Weryfikację skuteczności algorytmów zachłannych w problemie Activity Selection.
4. Porównanie efektywności i struktury kodowania Huffmana w wariantie binarnym i trójkowym (ternarnym).

# 2 Analiza Implementacji

## 2.1 Activity Selector - Modyfikacja (Start Time)

Standardowy algorytm zachłanny sortuje zajęcia po czasie zakończenia ( $f_i$ ). W ramach ćwiczenia zaimplementowano wariant sortujący po czasie rozpoczęcia ( $s_i$ ). Algorytm ten działa analogicznie, lecz iteruje tablicę "od tyłu", wybierając zadania, których koniec jest wcześniejszy niż start poprzednio wybranego.

```
1 vector<Activity> activity_start_sorted(vector<Activity> acts) {
2     // 1. Sortowanie po czasie STARTU
3     sort(acts.begin(), acts.end(), [](const Activity& a, const Activity&
4         b) {
5             return a.s < b.s;
6         });
7
8     vector<Activity> res;
9     int n = acts.size();
10
11    // 2. Wybor ostatniego elementu (najpozniejszy start)
12    Activity last_selected = acts[n-1];
13    res.push_back(last_selected);
14
15    // 3. Iteracja wsteczna
16    for (int i = n - 2; i >= 0; i--) {
17        if (acts[i].f <= last_selected.s) { // Warunek nienachodzenia
18            res.push_back(acts[i]);
19            last_selected = acts[i];
20        }
21    }
22    // 4. Przywrócenie kolejności chronologicznej
23    reverse(res.begin(), res.end());
24    return res;
}
```

Listing 1: Modyfikacja Activity Selector (Sortowanie po starcie)

## 2.2 Cut Rod - Iteracja z rekonstrukcją

Zamiast rekurencji, zastosowano podejście iteracyjne (Bottom-Up), które eliminuje ryzyko przepełnienia stosu. Dodatkowa tablica  $s[j]$  przechowuje miejsce cięcia, co pozwala na odtworzenie pełnego rozwiązania.

```
1 for (int j = 1; j <= n; j++) {
2     int q = INT_MIN;
3     for (int i = 1; i <= j; i++) {
4         if (q < p[i-1] + r[j - i]) { // Funkcja przejścia
5             q = p[i-1] + r[j - i];
6             s[j] = i; // Zapamietanie optymalnego ciecia
7         }
8     }
9     r[j] = q;
10 }
```

Listing 2: Cut Rod Iterative

## 2.3 Kodowanie Huffmana: Binarne vs Ternarne

W ramach laboratorium zaimplementowano dwa warianty algorytmu Huffmana: klasyczny (binarny) oraz jego uogólnienie dla drzewa trójkowego (ternarny). Oba algorytmy wykorzystują kolejkę priorytetową (Min-Heap).

### 2.3.1 Różnice w redukcji kolejki i padding

- **Wariant Binarny ( $k = 2$ ):** W każdym kroku pobierane są 2 najmniejsze węzły, a wstawiany jest 1 nowy. Liczba elementów maleje o 1.
- **Wariant Ternarny ( $k = 3$ ):** Pobierane są 3 węzły, wstawiany 1. Liczba elementów maleje o 2.

Aby w wariantie ternarnym możliwe było poprawne zakończenie algorytmu (redukcja do 1 korzenia), początkowa liczba węzłów  $N$  musi być nieparzysta ( $N \equiv 1 \pmod{2}$ ). Jeśli  $N$  jest parzyste, dodajemy sztuczny węzeł o wagie 0:

```
1 // Jesli Q.size() jest parzyste, na koncu zostalyby 2 elementy.
2 // Dodajemy pusty wezel, aby umozliwic grupowanie po 3.
3 if (Q.size() % 2 == 0) {
4     Q.push(new HuffNode(0, '\0'));
5 }
6
7 while (Q.size() > 1) {
8     HuffNode *x = Q.top(); Q.pop();
9     HuffNode *y = Q.top(); Q.pop();
10    HuffNode *z = Q.top(); Q.pop();
11    // ... laczenie x, y, z w wezel rodzica ...
12 }
```

Listing 3: Huffman Ternary - Obsługa parzystości

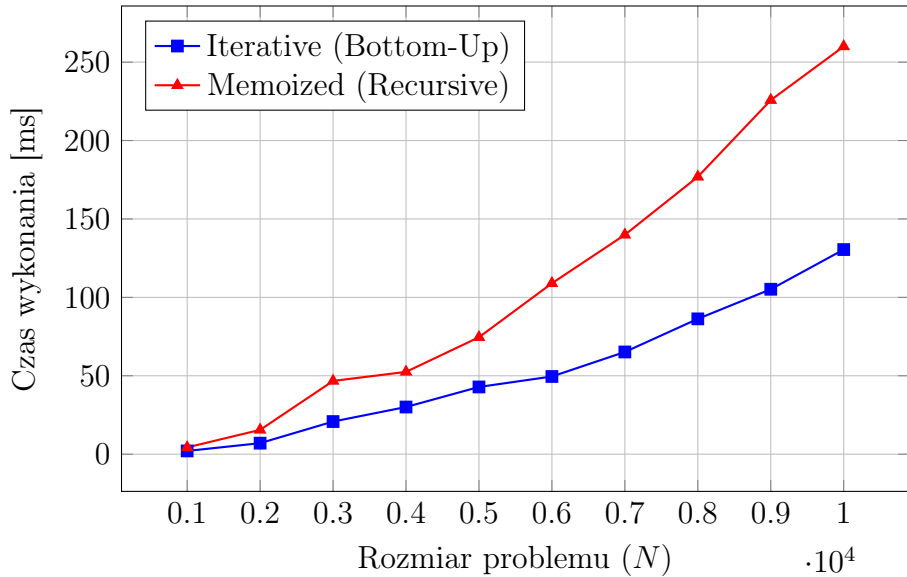
### 3 Wyniki eksperymentów

Poniższe wykresy wygenerowano na podstawie danych z pliku `benchmark_results.csv`.

#### 3.1 Cut Rod: Koszt rekurencji

Porównanie wersji iteracyjnej i zmemoizowanej rekurencji dla  $N \in [1000, 10000]$ .

Wykres 1: Cut Rod - Iteracja vs Memoizacja

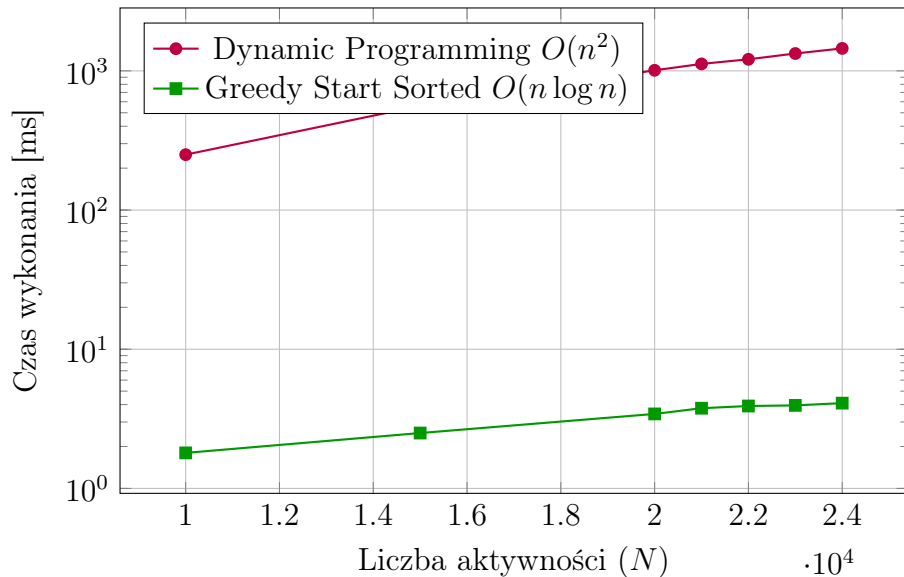


Rysunek 1: Wersja iteracyjna jest ok. **2x szybsza**. Wynika to z braku narzutu wywołań funkcji i lepszego wykorzystania pamięci podręcznej.

### 3.2 Activity Selector: Przepaść wydajnościowa

Zestawienie algorytmu programowania dynamicznego ( $O(n^2)$ ) z podejściem zachłannym ( $O(n \log n)$ ).

**Wykres 2:** Activity Selector - DP vs Greedy

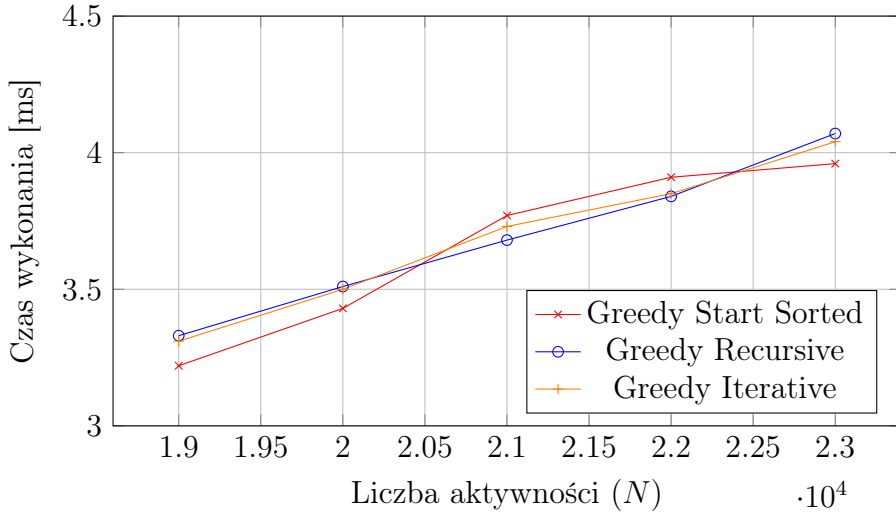


Rysunek 2: Dla  $N = 24000$ , DP potrzebuje ok. 1.4 sekundy, podczas gdy algorytm zachłanny kończy pracę w 4 milisekundy.

### 3.3 Porównanie wariantów zachłannych

Szczegółowa analiza algorytmów zachłannych dla dużych  $N$  (zoom).

**Wykres 3:** Porównanie wariantów Greedy (Zoom)



Rysunek 3: Wszystkie warianty zachłanne osiągają zbliżoną wydajność. Sortowanie po czasie startu jest równie efektywne co standardowe podejście.

### 3.4 Analiza strukturalna drzew Huffmmana

Porównano właściwości drzew wygenerowanych dla tych samych danych wejściowych.

Tabela 1: Porównanie właściwości wariantów Huffmmana

Cecha	Huffman Binarny	Huffman Ternarny
Stopień drzewa ( $k$ )	2	3
Alfabet kodowy	{0, 1}	{0, 1, 2}
Redukcja w kroku	1 węzeł	2 węzły
Wysokość drzewa	Wyzsza ( $\approx \log_2 N$ )	Nizsza ( $\approx \log_3 N$ )
Średnia długość kodu	Dłuższa	Krótsza
Złożoność obliczeniowa	$O(N \log N)$	$O(N \log N)$

Drzewo ternarne jest "pływtsze", co daje krótsze napisy kodowe (w sensie liczby znaków), ale wymaga użycia alfabetu trójkowego.

## 4 Wnioski końcowe

Na podstawie przeprowadzonych badań sformułowano następujące wnioski:

1. **Dominacja algorytmów zachłannych:** W problemie wyboru zajęć podejście zachłanne jest bezkonkurencyjne (rzędy wielkości szybsze od DP). Potwierdza to zasadność stosowania strategii zachłannej, gdy spełniona jest *własność wyboru zachłanego*.
2. **Koszt abstrakcji (Memoizacja vs Iteracja):** W problemie Cut Rod obie metody mają tę samą złożoność asymptotyczną  $O(n^2)$ , lecz wersja iteracyjna jest stale około dwukrotnie szybsza i bezpieczniejsza pamięciowo (brak stosu rekurencji).
3. **Uniwersalność sortowania:** Wykazano, że sortowanie zajęć po czasie *rozpoczęcia* i przetwarzanie ich od końca jest równie wydajną metodą co klasyczne sortowanie po czasie zakończenia.
4. **Ograniczenia rekurencji:** Dla problemu LCS przy dużych danych ( $N > 5000$ ) zaobserwowano ryzyko przepełnienia stosu w wersji rekurencyjnej.
5. **Generalizacja Huffmana:** Implementacja wariantu ternarnego potwierdziła, że algorytm Huffmana poddaje się uogólnieniu. Kluczowym wyzwaniem jest zapewnienie parzystości liczby węzłów początkowych (poprzez padding), tak aby redukcja trójkowa zawsze zakończyła się na jednym korzeniu.